

مجله دانشکده پزشکی

دانشگاه علوم پزشکی تهران

سال ۶۱، شماره ۵، صفحات ۳۷۷ تا ۳۸۴ (۱۳۸۲)

# یافته‌های طبیعی هدایت عصبی مدیان

## مرکز الکتروموگرافی بیمارستان سینا

دکتر محمدرضا قبئی (استادیار نورولوژی)\*، دکتر سلمان غفاری، دکتر محمدعلی بانکی

\*دانشگاه علوم پزشکی تهران

### چکیده

مقدمه: با توجه به شیوع بالای دردهای اندام فرقانی و سندروم کانال کارپ و عدم امکان تأیید قطعی بالینی این بیماری و نیاز به تأیید آن توسط بررسی هدایت عصبی، بررسی عصب مدیان از شایعترین بررسی‌ها در مراکز الکتروموگرافیک می‌باشد. در بررسی هدایت عصبی وجود محدوده طبیعی یافته‌ها از نکات مهم در تفسیر نتایج می‌باشد.

مواد و روشها: در این مطالعه ما یافته‌های هدایت عصبی عصب مدیان را در ۶۰ نفر افراد سالم بدست آوردیم.

یافته‌ها: در این مطالعه میانگین تأخیر دیستال حرکتی ۳۰۹ میلی‌ثانیه (انحراف معیار: ۰۷۵) بدست آمد. میانگین تأخیر دیستال حسی بر حسب قله موج ۳۰۴ میلی‌ثانیه (انحراف معیار: ۰۲۸) بدست آمد. با افزایش سن میانگین تأخیر دیستال حسی و حرکتی افزایش یافت.

نتیجه گیری و توصیه‌ها: اغلب یافته‌ها با آنچه متابع دیگر ذکر نموده بودند اختلاف ارزشمندی وجود نداشت بنابراین استفاده از مقادیر منابع کشورهای دیگر برای بیماران ایرانی اشکالی ندارد.

کارپ باشد جهت بررسی هدایت عصبی و الکتروموگرافی

ارجاع می‌گردد. یافته‌های بررسی هدایت عصبی بنابر اغلب منابع

جزء معیارهای ضروری جهت تشخیص سندروم کانال کارپ

می‌باشد و می‌بایست قبل از اقدام به جراحی درخواست گردد.

بنابراین شیوع بالای دردهای اندام فرقانی، شیوع سندروم کانال

کارپ و عدم امکان تشخیص قطعی بالینی این بیماری دست به

دست هم داده‌اند و ارجاع جهت تشخیص و یا رد این بیماری را

از شایع‌ترین علل مراجعه بیماران به مراکز الکتروموگرافی

نموده‌اند. به همین دلیل بررسی هدایت عصبی عصب مدیان از

### مقدمه

شایعترین علت ارجاع بیماران به مراکز الکترودیاگنوستیک، درد در اندام فرقانی می‌باشد و اغلب جهت بررسی احتمال سندروم کانال کارپ این بیماران را ارجاع می‌دهند. شک وجود این بیماری در دردهای اندام فرقانی بسیار معقول است زیرا گیر کردن عصب مدیان در مچ دست شایع‌ترین منوره‌پاتی محیطی می‌باشد. بیماری که در معابینات بالینی مشکوک به سندروم کانال

منفی تا قله آن را اندازه‌گیری کنیم متوسط دامنه  $7 \text{ mV}$  و حداقل مقدار آن  $1/5 \text{ mV}$  می‌باشد (۶).

در مورد موج حسی تأخیر دیستال بر اساس زمان شروع موج منفی و یا قله محاسبه می‌گردد که در مورد تأخیر دیستال تا نقطه شروع موج منفی متوسط زمان  $2/4 \text{ ms}$  با انحراف معیار  $\pm 3 \text{ ms}$  و تا قله موج منفی  $3/0 \text{ ms}$  با انحراف معیار  $\pm 3 \text{ ms}$  بدست آمده است. در مورد دامنه موج حسی که از شروع موج منفی تا قله آن محاسبه شده است از  $7 \text{ uV}$   $10-90$  ذکر گردیده است (۷).

با توجه به اینکه حدود طبیعی در جوامع مختلف ممکن است تفاوت نماید ما مطالعه‌ای را جهت بدست آوردن مقادیر طبیعی در بررسی هدایت عصبی م迪ان در بیمارستان سینا انجام دادیم.

## مواد و روشها

این مطالعه بر روی  $60$  نفر مرد و زن ( $34$  زن،  $26$  مرد) با میانگین سن  $30/5$  سال (مردان:  $31/9$  و زنان:  $29/5$  سال) که جوانترین آنان  $14$  ساله و مسن‌ترین  $58$  ساله می‌باشد انجام شد. در ابتدا از تمامی افراد شرح حال کامل و معاینه مربوط به سلامت عصب م迪ان انجام شد. مشخصات افراد شامل جنس، سن، وزن، قد، دست غالب و شغل در پرسشنامه‌ای جمع‌آوری گردید. هرگونه شرح حال درد دست، پارستزی، اختلال حسی در محدوده عصب م迪ان، تست فالن مثبت، وجود علامت Tinel و سابقه بیماری‌هایی از قبیل دیابت، آرتریت روماتوئید، هیپوتیروئیدی و سابقه شکستگی در ساعد و مچ دست و علائمی دال بر نوروپاتی باعث حذف افراد از مطالعه می‌گردید. حاملگی در زمان انجام تست نیز باعث حذف افراد می‌شد. این افراد به مرکز الکترومیوگرافی بیمارستان سینا راهنمایی می‌شدند. در آنجا به تمام آنها نحوه انجام تست توضیح داده می‌شد و اطمینان داده می‌شد که از سوزن استفاده نمی‌شود و آزمایش هیچگونه عارضه‌ای در پی ندارد ولی بررسی هدایت عصبی ممکن است با احساس درد و گزگز در حین انجام همراه باشد لذا در هر مرحله‌ای که بخواهند انجام تست متوقف می‌گردد.

شایع‌ترین بررسی‌هایی است که در این مراکز انجام می‌شود. اساس تفسیر یافته‌هایی که در بررسی هدایت عصبی بدست می‌آید مقایسه این مقادیر با مقادیری است که بعنوان حدود طبیعی پذیرفته شده‌اند. بنابراین اولین شرط، وجود این حدود طبیعی است.

اولین مطالعات در مورد سرعت هدایت جزء حرکتی عصب م迪ان توسط Hodes در سال ۱۹۴۸ و Thomas در سال ۱۹۵۹ انجام شد (۱,۲). در هر دو این مطالعات از الکترود سوزنی در عضله دورکننده کوچک شست (Abductor Pollicis Brevis) بعنوان ثبت کننده استفاده شده بود. پس از آن مطالعات فراوانی توسط الکترودهای سطحی انجام شد که Ma, Liveson در سال ۱۹۸۳ آنها را خلاصه و جمع‌آوری نمودند (۳). اغلب این مطالعات متوسط سرعت هدایت عصبی را در جزء حرکتی عصب م迪ان در فاصله آرنج تا  $55-58 \text{ m/s}$  بدست آورده‌اند و پائین‌ترین حد طبیعی را  $48 \text{ m/s}$  ذکر نموده‌اند. در مطالعاتی که سرعت هدایت بر اساس سن سنجیده شده است کاهش سرعت هدایت عصبی با افزایش سن نشان داده شده است به شکلی که در سن بالای  $65$  سال سرعت هدایت تا  $45 \text{ m/s}$  نیز طبیعی است.

تأخر دیستال (Distal latency) حرکتی از مهم‌ترین مقادیر در بررسی هدایت عصبی م迪ان است چرا که هدایت را در قسمتی که در سندرم کانال کارپ درگیر می‌شود نشان می‌دهد. در اغلب مطالعات گرچه متوسط این زمان  $3/5-3/7 \text{ ms}$  شده است (۳) ولی مقدار  $4/2 \text{ ms}$  بعنوان بالاترین حد طبیعی در اغلب مطالعات مربوط به سندرم کانال کارپ پذیرفته شده است (۴). این عدد به نحو بارزی از حد اکثر مقدار طبیعی تأخیر دیستال در هدایت عصبی عصب اولنار به عضله دورکننده انجشت کوچک (Abductor Digiti Minimi) بیشتر است ( $3/7 \text{ ms}$ ) که این ممکن است بعلت فشارهای بدون علامت بر عصب م迪ان در کانال کارپ در افراد معمول جامعه باشد.

در مورد دامنه موج حرکتی (Compound Muscle Action Potential) بعضی مطالعات از بالاترین قله منفی تا قعر مثبت را اندازه‌گیری نموده‌اند که متوسط دامنه  $13-15 \text{ mV}$  و حداقل آن  $5 \text{ mV}$  بدست آمده است (۵) و اگر از شروع موج

Filter: 2Hz- 2KHz, Sensitivity: 5 mV/d, Sweep: Pulse interval: 200μs, pulse duration: 100μs و در مورد محرک Sms/d بود.

این مطالعات پر روی هر دو دست انجام شد و اطلاعات مربوط به تأخیر دیستال، دامنه موج و سرعت هدایت ثبت شد و توسط نرمافزار SPSS ver9.01 آنالیز گردید.

## نتایج

همانگونه که ذکر شد اطلاعات مربوط به تأخیر دیستال، دامنه موج و سرعت هدایت عصبی در هر دو جزء حسی و حرکتی ثبت شد در عین حال اطلاعات مربوط به هدایت عصب میانی نیز شامل تأخیر دیستال نسبت به نقطه شروع موج منتهی و قله نیز موجود بود.

اطلاعات مربوط به ۶۰ نفر که در واقع مربوط به ۱۲۰ دست میباشد در جدول ۱ آمده است.

خلاصه یافته‌ها به تفکیک جنس در جدول ۲ آورده شده است.

نمونه‌ها را بر حسب سن به ۲ گروه کمتر و بیشتر از ۳۵ سال تقسیم نمودیم و خلاصه یافته‌ها بر حسب این تقسیم در جدول ۳ آمده است.

برای بررسی اثر وزن بر روی یافته‌های هدایت عصبی نمونه را به سه گروه بر حسب Body Mass Index (BMI) تقسیم نمودیم

$$[ \text{BMI} = \frac{\text{Weight(kg)}}{\text{Height}^2(m)} ]$$

در BMI  $\leq 20$  افراد لاغر با

نظر گرفته شدند. ۴ نفر بعلت عدم ثبت قد از این بررسی حذف شدند این یافته‌ها در جدول ۴ خلاصه گردیده است.

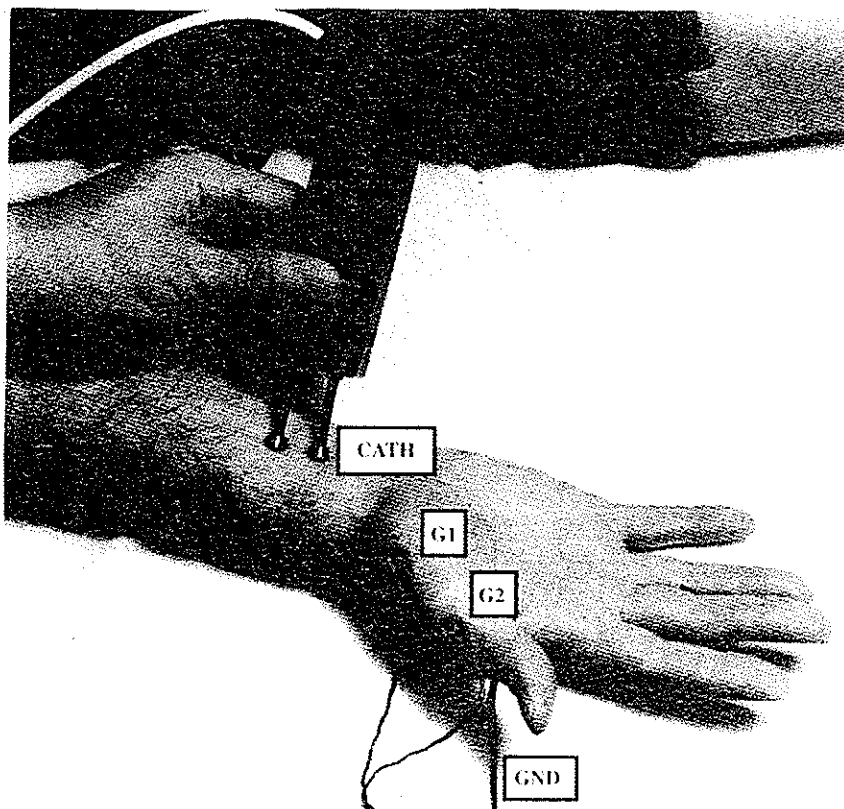
متوسط اختلاف یافته‌ها بین دو دست محاسبه گردید و مقدار میانگین به علاوه ۲ برابر انحراف معیار بعنوان حداقل مقدار مجاز اختلاف یک یافته بین دو دست در نظر گرفته شد (جدول ۵).

متوسط مقادیر یافته‌ها بر حسب دست غالب و غیر غالب نیز بررسی گردید (جدول ۶).

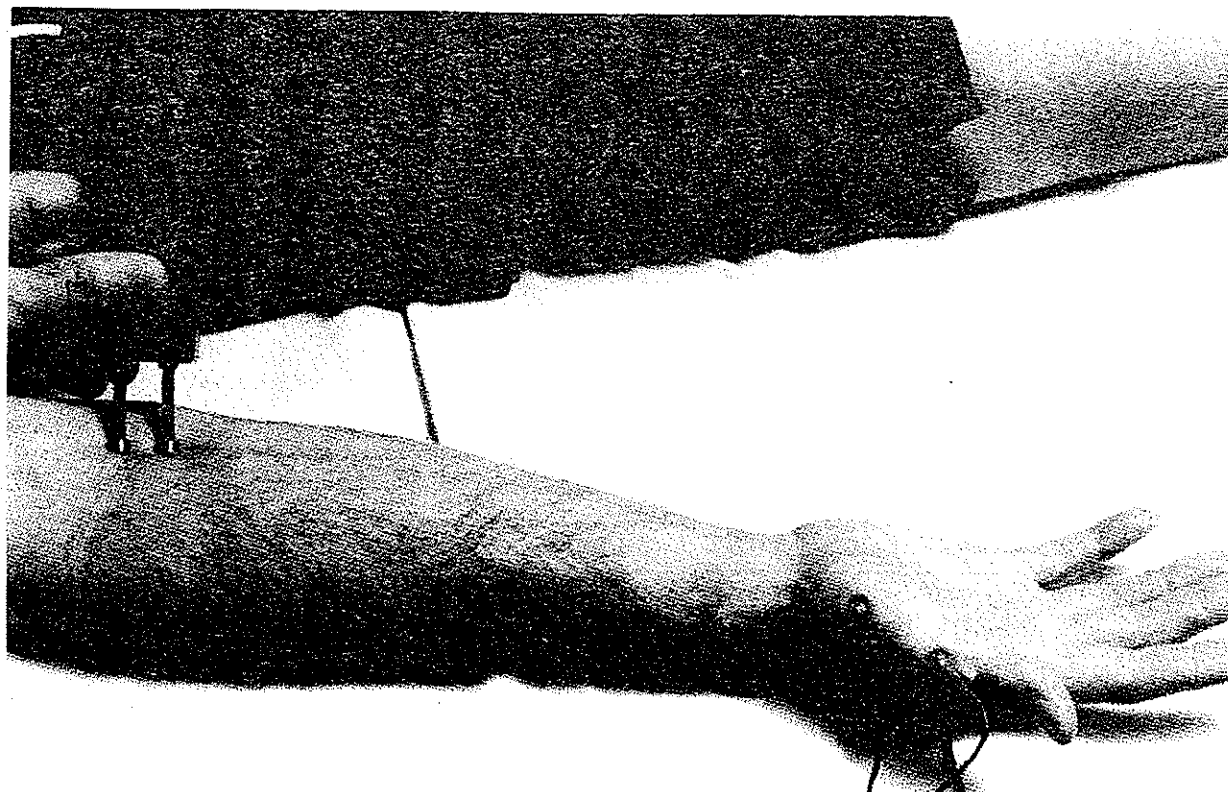
هدایت عصبی توسط دستگاه ESAOTE Biomedica کانال Copyright c 1996.97 S.P.A انجام می‌شد. دمای دست در بالای  $35^{\circ}\text{C}$  حفظ می‌گردید.

در این افراد باز برای اینکه اطمینان حاصل شود که موردی از موارد سندروم کانال کارپ بدون علامت در بین آنان وجود نداشته باشد در ابتدا تست مقایسه بین بررسی Mixed اولنار و میانی هر دو دست انجام می‌شد. در این مطالعه ابتدا  $G_1$  بر روی عصب میانی در ناحیه مچ و  $3\text{ cm}$   $G_2$  بالاتر قرار می‌گرفت. محل تحریک  $8\text{ cm}$  دیستال به  $G_1$  روی خطی که از  $G_1$  به بین انگشت ۲ و ۳ کشیده می‌شود می‌باشد. در مورد عصب اولنار  $G_1$  بر روی عصب اولنار در قسمت داخلی مچ دست و  $2\text{ cm}$   $G_2$  بالاتر قرار می‌گیرد و تحریک  $8\text{ cm}$  دیستال به  $G_1$  روی خطی که  $G_1$  را به بین انگشت ۴ و ۵ وصل می‌کند می‌باشد (شکل ۱). بنابر بررسی‌های انجام شده افزایش بیش از  $0.4\text{ ms}$  تأخیر هدایت در عصب میانی در قسمت داخلی مچ دست و  $0.4\text{ ms}$  تأخیر هدایت در عصب میانی در قسمت اولنار از حساس‌ترین تست‌های تشخیصی سندروم کانال کارپ می‌باشد. بنابراین افرادی که در بررسی ابتدایی در هر کدام از دست‌ها این خصوصیت را داشتند باز از مطالعه حذف شدند. سپس مطالعه هدایت حسی و حرکتی در عصب میانی انجام شد. در مطالعه حرکتی عصب میانی الکترود  $G_1$  بر روی بخش وسط عضله دورکننده شست و  $G_2$  در قاعده انگشت اول قرار می‌گرفت. کاتد محرک  $8\text{ cm}$  بالاتر از  $G_1$  در بین تاندون عضله فلکسور کارپی‌رادیالیس و پالماریس‌لونگوس قرار می‌گرفت، تحریک پروگزیمال در ناحیه آرنج در سمت داخلی تاندون عضله دوسر داده می‌شد (شکل ۲) مشخصات دستگاه به صورت:

Filter: 2Hz- 10KHz, Sensitivity: 5 mV/d, Sweep: 5 ms/s و در مورد محرک Pulse interval: 200μs, pulse duration: 100μs بود. عصب بصورت سوپر اماگزیمال ( $20\%/\text{بالاتر از ۱۰۰\text{ μs}$ ) مقداری که موج حرکتی حداکثر دامنه را پیدا کرده است) تحریک داده شد. در مطالعه حسی  $G_1$  روی قاعده انگشت دوم و  $G_2$  روی مفصل بین انگشتی دیستال قرار می‌گرفت و تحریک به روش آنتی درمیک  $14\text{ cm}$  بالاتر باز بین تاندون عضله فلکسور کارپی‌رادیالیس و پالماریس‌لونگوس داده می‌شد. مشخصات دستگاه بصورت:



شکل ۱ - در مورد عصب اولنار  $G_1$  بر روی عصب اولنار در قسمت داخلی مج دست و  $G_2$   $3\text{ cm}$  بالاتر قرار می‌گیرد و تحریک  $8\text{ cm}$  دیستال به  $G_1$  روی خطی که  $G_1$  را به بین انگشت ۴ و ۵ وصل می‌کند می‌باشد



شکل ۲ - کاتد محرک  $8\text{ cm}$  بالاتر از  $G_1$  در بین تاندون عضله فلکسور کارپی رادیالیس و پالماریس لونگوس قرار می‌گیرد و تحریک پروگزیمال در ناحیه آرنج در سمت داخلی تاندون عضله دوسر داده می‌شود

## جدول شماره ۱- مقادیر بررسی هدایت عصبی عصب مدیان، حسی و حرکتی

پافته هدایت عصبی (واحد)	میانگین	انحراف معیار
تأخیر دیستال حرکتی (میلی ثانیه)	۳/۰۹	۰/۳۵۴
دامنه موج حرکتی (میلی ولت)	۱۶/۰۳	۴/۷۷۲
سرعت هدایت عصبی حرکتی (متر بر ثانیه)	۶۳/۳۷	۷/۹۹۰
تأخیر دیستال حسی تا شروع موج (میلی ثانیه)	۲/۲۹	۰/۲۸۵
تأخیر دیستال حسی قله موج (میلی ثانیه)	۳/۰۴	۰/۲۹۵
دامنه موج حسی (میکروولت)	۷۷/۲۵	۲۹/۴۶
سرعت هدایت عصبی حسی (متر بر ثانیه)	۵۳/۸۰	۱/۲۷

## جدول شماره ۲- مقادیر بررسی هدایت عصبی عصب مدیان حسی و حرکتی بر حسب جنس

پافته هدایت عصبی (واحد)	مردان	زنان	میانگین (انحراف معیار)
تأخیر دیستال حرکتی (میلی ثانیه)	۳/۲۶۲ (۰/۳۲۸)	۲/۹۶۰ (۰/۳۱۸)	
دامنه موج حرکتی (میلی ولت)	۱۶/۴۲۵ (۴/۷۸۷)	۱۶/۶۲۸ (۴/۷۹۰)	
سرعت هدایت عصبی حرکتی (متر بر ثانیه)	۶۰/۹۱ (۷/۴۶۴)	۶۵/۲۵۷ (۷/۹۱۷)	
تأخیر دیستال حسی تا شروع موج (میلی ثانیه)	۲/۳۸۳ (۰/۲۴۹)	۲/۲۲۶ (۰/۲۹۴)	
تأخیر دیستال حسی قله موج (میلی ثانیه)	۳/۱۵۶ (۰/۲۸۷)	۲/۹۶۳ (۰/۲۷۶)	
دامنه موج حسی (میکروولت)	۶۳/۲۸۵ (۱۹/۹۸۲)	۸۷/۶۶۸ (۳۱/۲۲۱)	
سرعت هدایت عصبی حسی (متر بر ثانیه)	۵۱/۱۹ (۹/۹۳۰)	۵۵/۸۰ (۱۰/۱۰۴)	

## جدول شماره ۳- مقادیر بررسی هدایت عصبی عصب مدیان حسی و حرکتی بر حسب سن

پافته هدایت عصبی (واحد)	سن کمتر یا برابر ۳۵ سال	سن بالاتر از ۳۵ سال	میانگین (انحراف معیار)
تأخیر دیستال حرکتی (میلی ثانیه)	۳/۰۱۹ (۰/۳۳۸)	۳/۰۱۹ (۰/۳۳۵)	
دامنه موج حرکتی (میلی ولت)	۱۷/۰۲۰ (۴/۶۲۸)	۱۵/۳۲۵ (۴/۹۸۴)	
سرعت هدایت عصبی حرکتی (متر بر ثانیه)	۶۴/۰۱۹ (۸/۲۳۸)	۷۱/۷۳۸ (۷/۱۸۲)	
تأخیر دیستال حسی تا شروع موج (میلی ثانیه)	۲/۲۴۳ (۰/۲۸۱)	۲/۴۲۲ (۰/۲۰۹)	
تأخیر دیستال حسی قله موج (میلی ثانیه)	۲/۹۸۲ (۰/۲۷۳)	۲/۲۰۸ (۰/۲۹۲)	
دامنه موج حسی (میکروولت)	۸۳/۹۰۷ (۲۸/۸۷۱)	۶۰/۴۴۱ (۲۴/۰۳)	
سرعت هدایت عصبی حسی (متر بر ثانیه)	۵۴/۶۶۷ (۱۰/۲۳۷)	۵۱/۹۰۱ (۱۰/۱۹۲)	

جدول شماره ۴- مقادیر بررسی هدایت عصبی عصب مدیان حسی و حرکتی بر حسب BMI

$25 < \text{BMI}$	$20 < \text{BMI} \leq 25$	$\text{BMI} \leq 20$	یافته هدایت عصبی (واحد)
میانگین (انحراف معیار)	میانگین (انحراف معیار)	میانگین (انحراف معیار)	
۲/۲۸ (۰/۳۱)	۳/۱۰ (۰/۳۹)	۲/۸۳ (۰/۲۰)	تأخر دیستال حرکتی (میلی ثانیه)
۱۵/۴۲ (۴/۶۶)	۱۷/۲۸ (۴/۵۰)	۱۸/۵۵ (۴/۶۷)	دامنه موج حرکتی (میلی ولت)
۶۰/۸۰ (۷/۲۸)	۶۲/۶۷ (۷/۸۷)	۶۷/۵۹ (۷/۳۱)	سرعت هدایت عصبی حرکتی (متر بر ثانیه)
۲/۳۷ (۰/۲۹)	۲/۳۴ (۰/۲۸)	۲/۱۶ (۰/۲۶)	تأخر دیستال حسی تا شروع موج (میلی ثانیه)
۳/۱۴ (۰/۳۰)	۳/۱۱ (۰/۲۸)	۲/۸۹ (۰/۲۵)	تأخر دیستال حسی قله موج (میلی ثانیه)
۶۵/۳۲ (۲۴/۳۱)	۷۹/۱۹ (۲۴/۷۵)	۹۵/۷۲ (۳۴/۵۲)	دامنه موج حسی (میکروولت)
۵۲/۸۳ (۱۰/۶۰)	۵۰/۱۷ (۹/۱۶)	۵۳/۲۴ (۸/۲۹)	سرعت هدایت عصبی حسی (متر بر ثانیه)

جدول شماره ۵- حداقل میزان اختلاف یافته‌های هدایت عصبی حسی و حرکتی مدیان بین دو دست

حداقل مقدار مجاز اختلاف دو دست	یافته هدایت عصبی (واحد)
(میانگین ± دو برابر انحراف معیار)	
۰/۷۷	تأخر دیستال حرکتی (میلی ثانیه)
۱۰/۷۴	دامنه موج حرکتی (میلی ولت)
۱۰/۱۵	سرعت هدایت عصبی حرکتی (متر بر ثانیه)
۰/۰۰۸	تأخر دیستال حسی تا شروع موج (میلی ثانیه)
۰/۰۰۰	تأخر دیستال حسی قله موج (میلی ثانیه)
۹۴,۵۸	دامنه موج حسی (میکروولت)
۱۶/۲۶	سرعت هدایت عصبی حسی (متر بر ثانیه)

جدول شماره ۶- میانگین مقادیر بررسی هدایت عصبی عصب مدیان حسی و حرکتی بر حسب دست غالب و مغلوب

میانگین (انحراف معیار)	دست غالب	دست مغلوب	یافته هدایت عصبی (واحد)
میانگین (انحراف معیار)	میانگین (انحراف معیار)	میانگین (انحراف معیار)	
۲/۰۷۲ (۰/۳۱۲)	۳/۱۰۹۳ (۰/۳۹۳)	۲/۰۷۲ (۰/۳۱۲)	تأخر دیستال حرکتی (میلی ثانیه)
۱۶/۰۵۰ (۴/۸۰)	۱۷/۰۲۴۳ (۵/۱۸)	۱۷/۰۲۴۳ (۵/۱۸)	دامنه موج حرکتی (میلی ولت)
۶۲/۷۱ (۸/۶۶)	۶۳/۰۳۱۷ (۷/۳۱۷)	۶۳/۰۳۱۷ (۷/۳۱۷)	سرعت هدایت عصبی حرکتی (متر بر ثانیه)
۲/۳۲۴ (۰/۳۱۰)	۲/۲۶۳ (۰/۲۵۱)	۲/۲۶۳ (۰/۲۵۱)	تأخر دیستال حسی تا شروع موج (میلی ثانیه)
۲/۰۵۲ (۰/۳۱۱)	۳/۰۴۱۳ (۰/۲۸۳)	۳/۰۴۱۳ (۰/۲۸۳)	تأخر دیستال حسی قله موج (میلی ثانیه)
۷۰/۷۸ (۲۹/۳۸)	۷۸/۷۳ (۲۹/۷۲)	۷۸/۷۳ (۲۹/۷۲)	دامنه موج حسی (میکروولت)
۵۴/۱۰ (۱۰/۰۳)	۵۳/۶۰ (۱۰/۱۰)	۵۳/۶۰ (۱۰/۱۰)	سرعت هدایت عصبی حسی (متر بر ثانیه)

## بحث

همانگونه که گفته شد یافته های مربوط به هدایت عصبی حسی، حرکتی و Mixed عصب مدیان را در ۶۰ نفر ثبت نمودیم.

در مورد بررسی هدایت عصبی حرکتی (جدول ۱) مقدار تأخیر دیستال بطور متوسط ۳۰۹ میلی ثانیه با انحراف معیار ۰/۳۵۴ بدست آمد. بنابراین اگر حداقل مقدار تأخیر دیستال را میانگین به علاوه ۲ برابر انحراف معیار در نظر بگیریم مقدار آن ۳۷۹ میلی ثانیه خواهد شد. در مطالعه ما حداقل مقدار تأخیر دیستال ثبت شده ۴۰ میلی ثانیه است. همانگونه که گفته شد در اغلب مطالعات مربوط به سندروم کانال کارپ حداقل تأخیر دیستال حرکتی طبیعی را ۴/۲ میلی ثانیه فرض می کنند که به نظر می رسد این مقدار بالاتر از آنچه طبیعی است در نظر گرفته شده است. شاید دلیل این مسئله تمایل به افزایش اختصاصیت (specificity) این تست باشد.

در بررسی میزان دامنه موج حرکتی مدیان (قله تا قطر) میانگین بدست آمده ۱۶/۵۳ میلی ولت می باشد که حداقل مقدار که از تناقض ۲ برابر انحراف معیار از میانگین بدست آمده ۷/۹۹ میلی ولت می باشد. کمترین مقدار ثبت شده ۷/۶۱ میلی ولت است این یافته ها به مقادیر بدست آمده از مطالعات دیگر (۵) که مقدار میانگین را ۱۲-۱۵ mV و حداقل را ۵ mV ذکر کرده اند نزدیک است.

در بررسی سرعت هدایت عصبی حرکتی میانگین سرعت در مطالعه ما ۶۳/۳۷ متر بر ثانیه با انحراف معیار ۷/۹۹ می باشد که حداقل مقدار طبیعی ۴۷/۳۹ متر بر ثانیه محاسبه می گردد که این عدد با ۴۸ متر بر ثانیه که در مطالعات مشابه بدست آمده مطابقت دارد (۸).

در بررسی هدایت عصبی حسی تأخیر دیستال بر حسب قله موج که دقیق تر است محاسبه گردید و مقدار ۳۰۴ میلی ثانیه با انحراف معیار ۰/۲۹۵ بدست آمد. لذا حداقل تأخیر دیستال مجاز ۳/۶ میلی ثانیه می باشد که دقیقاً با مطالعات دیگر مطابقت دارد (۵,۶).

میانگین دامنه موج حسی (از شروع منفی تا قله) ۷۷/۲۵ میکروولت با انحراف معیار ۰/۴۶ بدست آمد لذا حداقل مقدار

طبیعی را ۱۸/۳۳ میکروولت می توان در نظر گرفت. همانگونه که گفته شد در مورد دامنه موج حسی در مطالعات مختلف مقادیر بسیار متفاوتی بدست آمده است ولی اغلب حداقل مقدار طبیعی را ۱۵ میکروولت در نظر می گیرند. از آنجانه که مقادیر مربوط به بررسی هدایت mixed عصب مدیان در مقایسه با مقادیر مشابه در عصب اولسنار ارزش می یابد از ذکر مقادیر خاص صرف نظر می کنیم.

همانگونه که گفته شد ما یافته ها را بر حسب سن کمتر و بیشتر از ۳۵ سال تقسیم نمودیم. در مقایسه این یافته ها و در نظر گرفتن ارزشمندی تفاوتها در صورت  $p < 0.05$  این نتایج بدست آمد. با افزایش سن میانگین تأخیر دیستال حرکتی ۳۰۲ میلی ثانیه در کمتر از ۳۵ سال در مقابل ۳/۲۷ میلی ثانیه در بیشتر ۳۵ سال و حسی ۲/۹۸ (۴/۲ میلی ثانیه در کمتر از ۳۵ سال در مقابل ۳۵ سال) افزایش می یابند. با افزایش سن میانگین دامنه موج حسی کاهش یافته است (۹/۸۳) در مقابل ۶۰/۴۴ میکروولت). افزایش سن بر سرعت هدایت موج حرکتی و دامنه موج حرکتی تأثیری نداشته است. البته باید در نظر داشت که مسن ترین فرد نمونه ۵۸ سال داشته است. شاید در صورت نمونه گیری از افراد مسن تر بخصوص بالای ۶۰ سال یافته ها با آنچه ذکر شد تفاوت نماید.

همانگونه که گفته شد ما یافته ها را بر اساس BMI به سه گروه لاغر  $BMI \leq 20$ , متناسب  $20 \leq BMI \leq 25$  و وزن بالا  $BMI > 25$  تقسیم نمودیم و بعد توسط آزمون آنالیز واریانس یافته ها را مقایسه نمودیم و این نتایج حاصل شد. با افزایش BMI میانگین تأخیر دیستال حرکتی افزایش می یابد (۲/۸۳) ۳/۱، ۳/۲۸ (۴/۲ میلی ثانیه)، با افزایش BMI دامنه موج حرکتی کاهش می یابد که این تفاوت بین گروه لاغر و وزن بالا (۱۸/۵۵) در مقابل ۱۵/۴۲ میلی ولت) ارزشمند است. افزایش BMI باعث کاهش سرعت هدایت عصبی حرکتی می شود (۹/۶۷، ۹/۶۷، ۹/۶۷، ۹/۶۷ متر بر ثانیه) که اختلاف بین گروه لاغر و متناسب و لاغر و وزن بالا ارزش آماری دارد. BMI بر روی سرعت هدایت عصبی حسی تأثیری نداشت. افزایش BMI باعث افزایش میانگین تأخیر دیستال حسی می گردد (۹/۲۸۹، ۹/۳/۱۱، ۹/۳/۱۴ میلی ثانیه). دامنه موج حسی با افزایش BMI کاهش یافت که

در بررسی دیگر میانگین مقادیر هدایت عصبی عصب مدیان را در دستهای غالب و غیر غالب مقایسه کردیم (جدول ۶) در بررسی آماری این مقادیر با آزمون T-test تفاوت با ارزشی بین این مقادیر یافت نشد. در مقالات مشابه نیز اینگونه بررسی یافت نگردید.

در مجموع بنابر یافته‌های بدست آمده از این بررسی تفاوت مشخصی بین مقادیر بدست آمده در این جمعیت و آنچه در منابع خارجی ذکر گردیده است وجود نداشت، بنابراین به نظر می‌رسد استفاده از جداول مقادیر طبیعی مراجع خارجی بلامانع باشد گرچه فعلاً این مسئله را فقط برای عصب مدیان می‌توانیم ابراز کنیم. در انجام بررسی هدایت عصبی قطعاً می‌بایست تکنیک انجام و تنظیم دستگاه با منبعی که به مقادیر آن ارجاع می‌گردد یکسان باشد و نقش عواملی از قبیل دما، وزن و سن را باید در نظر گرفت.

تفاوت بین گروه لاغر و وزن بالا ارزشمند است (۹۵/۷۲ در مقابل ۶۵/۸۲ میکروولت).

در کل طبق یافته‌های ما BMI موجب طولانی شدن تأخیر دیستال حسی و حرکتی، کاهش دامنه موج حسی و حرکتی و کاهش سرعت هدایت عصبی حرکتی می‌گردد.

در بررسی بعدی میانگین اختلاف بین یافته‌های دو دست محاسبه شد و حداقل مقادیر اختلاف بر حسب میانگین به اضافه دو برابر انحراف معیار محاسبه گردید.

در مطالعات مشابه فقط اختلاف بین تأخیرهای دیستال دو دست مقایسه گردیده است. بنابر یافته‌های ما حداقل اختلاف تأخیر دیستال حرکتی بین ۲ دست ۶۷۷/۰ میلی ثانیه است که در مطالعات مشابه ۷/۰ میلی ثانیه ذکر شده است (۸).

در مورد حداقل اختلاف بین تأخیر دیستال حسی بین دو دست مقدار ۵۵/۰ میلی ثانیه بدست آمد که با مقادیر مطالعات دیگر که ۱۰/۰ میلی ثانیه ذکر شده مطابقت دارد (۶).

subject. Archives of physical medicine and rehabilitation 58, 297-302.

1. Hodes R, Larrabee MG and German W, (1948): The human electromyogram in response to nerve stimulation and the conduction velocity of motor axons. Archives of Neurology and psychiatry 60, 240-362.
2. Thomas PK, Sears TA and Gilliatt RW (1959). the range of conduction velocity in normal motor nerve fibers to the small muscles of the hand and foot. Journal of Neurology, neurosurgery and psychiatry 22, 175-81.
3. Ma DM and Liveson JA (1983). Nerve conduction handbook, F.A. Davis, Philadelphia.
4. Felsenfeld G (1977): Median and ulnar distal motor and sensory latencies in the same normal
5. Melvin JL, Schuchman JA and Lanese RR (1973). Diagnostic specificity of motor and sensory conduction variables in the carpal tunnel syndrome. Archives of physical medicine and rehabilitation 54, 69-74.
6. Kimura J (1983). Electro diagnosis in disease of nerve and muscle, F.A. Davis, Philadelphia.
7. Johnson EW et al (1964): Sensory conduction studies of median and ulnar nerves. Archives of physical medicine and rehabilitation 48, 25-30.
8. Cambell WW (1999). Essentials of electrodiagnostic medicine.